

Dynamique et transport au voisinage d'une transition de phase quantique en dimension deux

Félix Rose

Directeur de thèse : Nicolas Dupuis



Laboratoire de physique théorique de la matière condensée,
Université Pierre et Marie Curie

Soutenance de thèse

19 Septembre 2017

Introduction : pourquoi s'intéresser aux QPTs ?

Transitions de phases (continues) classiques : bien comprises.

(Landau, Kadanoff, Wilson)

- Théorie de Landau : paramètre d'ordre et symétrie brisée.
- Champ moyen (en général) incorrect.
- Physique **universelle** ! Ex. : équation d'état (Widom) : $H = M^\delta f(tM^{-1/\beta})$.

Quid des **transitions de phase quantiques** (QPT) à $T = 0$?

Changement qualitatif de l'état fondamental ; annulation d'un gap.

Transition à $T = 0$

→ **physique modifiée** à $T > 0$

Ex. : métaux « étranges »

Introduction : pourquoi s'intéresser aux QPTs ?

Transitions de phases (continues) classiques : bien comprises.

(Landau, Kadanoff, Wilson)

- Théorie de Landau : paramètre d'ordre et symétrie brisée.
- Champ moyen (en général) incorrect.
- Physique **universelle** ! Ex. : équation d'état (Widom) : $H = M^\delta f(tM^{-1/\beta})$.

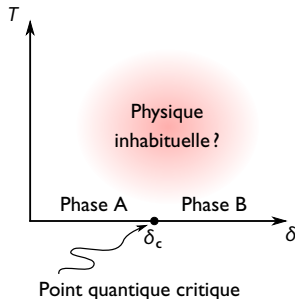
Quid des **transitions de phase quantiques** (QPT) à $T = 0$?

Changement qualitatif de l'état fondamental ; annulation d'un gap.

Transition à $T = 0$

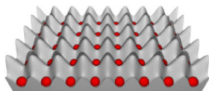
→ **physique modifiée à $T > 0$**

Ex. : métaux « étranges »

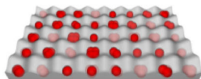


Exemple expérimental : transition isolant de Mott-superfluide

Bosons dans un réseau optique :

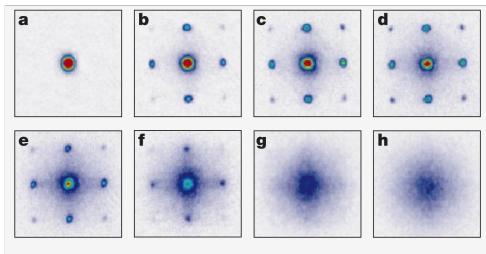


Isolant



Superfluide

Mesure de la cohérence du condensat par interférence :



De (a) vers (h) : la profondeur du potentiel augmente.

[Greiner et coll., Nature '02]

Décrire les QPTs

On se restreint aux **QPTs du second ordre**, pour lesquelles à la transition :

- la longueur de corrélation ξ diverge ;
- le gap d'excitations Δ s'annule.

On s'intéresse à la physique de basse énergie \rightarrow théories des champs.

Le **formalisme de l'intégrale de chemin** permet de réécrire la fonction de partition.

Seconde quantification

Opérateurs $\hat{H}, \hat{\psi}(\mathbf{r})^\dagger, \hat{\psi}(\mathbf{r})$

$$\mathcal{Z} = \text{Tr} e^{-\beta \hat{H}}$$

Formulation en intégrale de chemin

Champs complexes $\psi(\mathbf{r}, \tau)$

$$\mathcal{Z} = \int \mathcal{D}[\psi^*, \psi] e^{-S[\psi^*, \psi]}$$

Lien avec la théorie statistique des champs

$$\hat{H}[\hat{\psi}^\dagger, \hat{\psi}] \rightarrow S[\psi^*, \psi] = \int_0^{\hbar\beta} d\tau \left\{ H[\psi^*, \psi] + \int d^d \mathbf{r} \psi^* \partial_\tau \psi \right\}.$$

Conditions aux limites périodiques (PBC) : $\psi(\mathbf{r}, \tau + \hbar\beta) = \psi(\mathbf{r}, \tau)$.

- Problème quantique en dimension $d \rightarrow$ théorie des champs **classique** en $d + 1$.
- Coût : introduction d'un **temps** imaginaire $\tau \in [0, \hbar\beta]$.
- QPT \equiv transition de phase dans le modèle classique.
 \rightarrow propriétés des transitions classiques : classes d'universalité, lois d'échelle...

Ex : pour une théorie $2d$, la pression et la conductivité se comportent comme

$$P(T) - P(T=0) \propto T^{2+z} \mathcal{F}\left(\frac{k_B T}{\Delta}\right), \quad \sigma(\omega, T) = \frac{e^2}{h} \Sigma\left(\frac{\omega}{\Delta}, \frac{k_B T}{\Delta}\right)$$

avec $\mathcal{F}(x)$ et $\Sigma(x, y)$ des **fonctions d'échelle universelles**.

Le modèle $O(N)$ quantique

Action **invariante de Lorentz**, avec φ un champ réel à N composantes (\sim modèle φ^4).

$$S[\varphi] = \int_0^{\hbar\beta} d\tau \int d^d \mathbf{r} \left\{ \frac{1}{2} (\nabla \varphi)^2 + \frac{1}{2c_0^2} (\partial_\tau \varphi)^2 + r_0 \varphi^2 + u_0 (\varphi^2)^2 \right\}$$

- Couplages **indépendants de la température**.
- **Action effective** décrivant plusieurs transitions :
 - $N = 1$: modèle d'Ising en champ transverse ;
 - $N = 2$: bosons dans un réseau optique ; transition supraconducteur-isolant ;
 - $N = 3$: antiferro-aimants quantiques.

À $T = 0$ le modèle est équivalent au modèle $O(N)$ classique en $d + 1$.

Diagramme de phase à $T = 0$:

Symétrie $O(N)$ **spontanément brisée**.

Le modèle $O(N)$ quantique

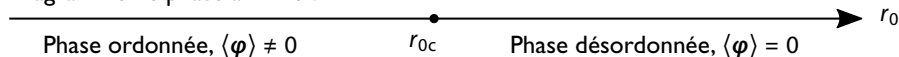
Action **invariante de Lorentz**, avec φ un champ réel à N composantes (\sim modèle φ^4).

$$S[\varphi] = \int_0^{\hbar\beta} d\tau \int d^d r \left\{ \frac{1}{2} (\nabla\varphi)^2 + \frac{1}{2c_0^2} (\partial_\tau\varphi)^2 + r_0\varphi^2 + u_0(\varphi^2)^2 \right\}$$

- Couplages **indépendants de la température**.
- **Action effective** décrivant plusieurs transitions :
 - $N = 1$: modèle d'Ising en champ transverse ;
 - $N = 2$: bosons dans un réseau optique ; transition supraconducteur-isolant ;
 - $N = 3$: antiferro-aimants quantiques.

À $T = 0$ le modèle est équivalent au modèle $O(N)$ classique en $d + 1$.

Diagramme de phase à $T = 0$:



Symétrie $O(N)$ **spontanément brisée**.

Diagramme de phase qualitatif à température finie en $2d$

Pour $T > 0$, pas de QPT, mais plusieurs régimes distincts :

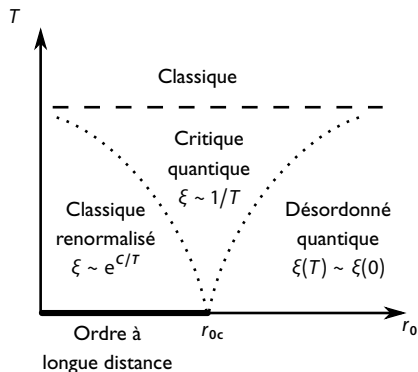


Diagramme typique en $2d$ ($N \geq 3$).

- Échelles d'énergie : T et gap $\Delta(T = 0)$.
- Lignes de passage : $T \sim \Delta \sim |\delta r_0|^\nu$.
- Pour $N = 1$ ou 2 présence d'une phase « ordonnée » pour $T > 0$.

Plan de la présentation

Objectif : propriétés **universelles** du modèle $O(N)$ quantique en **deux dimensions** au voisinage de son point critique.

- I Technique : le groupe de renormalisation non perturbatif (NPRG).
- II **Thermodynamique** du modèle.
- III Mode d'amplitude de « **Higgs** ».
- IV Fonctions d'échelle universelles de la **conductivité**.

Approches complémentaires :

- Analytiques : holographie, théorie des champs conforme, bootstrap conforme.
- Numériques : Monte-Carlo, diagonalisation exacte.

Pourquoi aller au delà de la théorie des perturbations ?

Rôle crucial de la dimension :

- $d + 1 \geq 4 \rightarrow$ **champ moyen** qualitativement correct; (point fixe Gaussien)
- $d = 2 \rightarrow$ régime de **couplage fort**. (point fixe de Wilson-Fisher, non Gaussien)

Théories perturbatives insuffisantes.

\rightarrow besoin d'une approche **non perturbative** : le NPRG

| Une brève introduction au NPRG

Le groupe de renormalisation non perturbatif : philosophie

Objet central : l'action effective (énergie libre de Gibbs) $\Gamma[\Phi \equiv \langle \varphi \rangle]$.

Γ : transformée de Legendre de l'énergie libre $\ln \mathcal{Z}$.

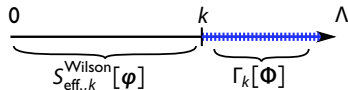
$$\mathcal{Z}[\mathbf{J}] = \int \mathcal{D}[\varphi] \exp\left(-S[\varphi] + \int_x \mathbf{J} \cdot \varphi\right), \quad \Gamma[\Phi] = -\ln \mathcal{Z}[\mathbf{J}] + \int_x \mathbf{J} \cdot \Phi.$$

Vertex $\Gamma^{(n)} \equiv \delta^n \Gamma / \delta \Phi^n \rightarrow$ informations sur le système :

- $\Gamma[\Phi(\mathbf{x}) = \text{const.}] = U$: potentiel \rightarrow thermodynamique (Φ extrémise Γ).
- $\Gamma^{(2)} = [G]^{-1}$: inverse du propagateur.

NPRG \sim RG à la Wilson :

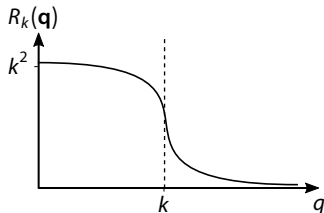
degrés de liberté intégrés progressivement.



Le groupe de renormalisation non perturbatif : en pratique

On ajoute à l'action un terme de « masse »

$$S \rightarrow S_k = S + \Delta S_k,$$
$$\Delta S_k[\Phi] = \frac{1}{2} \int_{\mathbf{q}} \Phi(\mathbf{q}) \cdot R_k(\mathbf{q}) \Phi(\mathbf{q}).$$



R_k donne une grande masse aux modes d'impulsion $\lesssim k$.

Nouvelle action effective dépendant de k : $\Gamma \rightarrow \Gamma_k$.

- $k = \Lambda$: les fluctuations sont gelées et le champ moyen est exact, $\Gamma_\Lambda = S$.
- $k = 0$: toutes les fluctuations sont prises en compte, $\Gamma_{k=0} = \Gamma$.

Équation de flot exacte

$$\partial_k \Gamma_k[\Phi] = \frac{1}{2} \text{Tr} \left\{ \partial_k R_k \left(\Gamma_k^{(2)}[\Phi] + R_k \right)^{-1} \right\}$$

[Wetterich, PLB '93]

[Morris, IJMP '94]

[Ellwanger, ZPC '94]

Le groupe de renormalisation non perturbatif : approximation

Idée la plus simple : le **développement dérivatif** (DE).

$$\text{Ansatz : } \Gamma_k[\Phi] = \int_{\mathbf{x}} \frac{Z_k(\Phi^2)}{2} (\partial_\mu \Phi)^2 + U_k(\Phi^2) + \frac{Y_k(\Phi^2)}{4} (\Phi \cdot \partial_\mu \Phi)^2.$$

- Non perturbatif; reproduit la théorie des perturbations (1 boucle).
- EDPs couplées pour U_k , Z_k et Y_k : soluble numériquement.
- En principe uniquement valide pour les petites impulsions.

Autre exemple : le schéma **Blaizot-Mendéz-Galain-Wschebor** (BMW) où les vertex de grand ordre $\Gamma^{(3)}$, $\Gamma^{(4)}$, ... sont approximés \rightarrow équation fermée pour $\Gamma^{(2)}(\mathbf{p}, \Phi)$.

[Blaizot et coll., PRE '06] [Benitez et coll., PRE '09]

Bons résultats à impulsion finie !

Exposants critiques du
modèle d'Ising en $D = 3$:

	NPRG DE	NPRG BMW	Bootstrap
ν	0.6307	0.632	0.629971(4)
η	0.0443	0.039	0.036298(2)

Le groupe de renormalisation non perturbatif : approximation

Idée la plus simple : le **développement dérivatif** (DE).

$$\text{Ansatz : } \Gamma_k[\Phi] = \int_{\mathbf{x}} \frac{Z_k(\Phi^2)}{2} (\partial_\mu \Phi)^2 + U_k(\Phi^2) + \frac{Y_k(\Phi^2)}{4} (\Phi \cdot \partial_\mu \Phi)^2.$$

- Non perturbatif; reproduit la théorie des perturbations (1 boucle).
- EDPs couplées pour U_k , Z_k et Y_k : soluble numériquement.
- En principe uniquement valide pour les petites impulsions.

Autre exemple : le schéma **Blaizot-Mendéz-Galain-Wschebor** (BMW) où les vertex de grand ordre $\Gamma^{(3)}$, $\Gamma^{(4)}$, ... sont approximés \rightarrow équation fermée pour $\Gamma^{(2)}(\mathbf{p}, \Phi)$.

[Blaizot et coll., PRE '06] [Benitez et coll., PRE '09]

Bons résultats à impulsion finie !

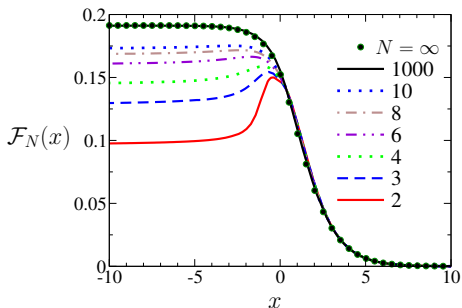
Exposants critiques du
modèle d'Ising en $D = 3$:

	NPRG DE	NPRG BMW	Bootstrap
ν	0.6307	0.632	0.629971(4)
η	0.0443	0.039	0.036298(2)

II Thermodynamique

Fonction d'échelle de la pression

Détermination (via DE) de la **fonction d'échelle universelle** de la **pression**.



$$P(T) = P(T=0) + N \frac{(k_B T)^3}{(\hbar c)^2} \mathcal{F}_N(x),$$

$$x = \begin{cases} \Delta/k_B T & \text{si à } T=0 \text{ désordonné,} \\ -\Delta/k_B T & \text{si à } T=0 \text{ ordonné.} \end{cases}$$

[Rançon et coll., PRE '13].

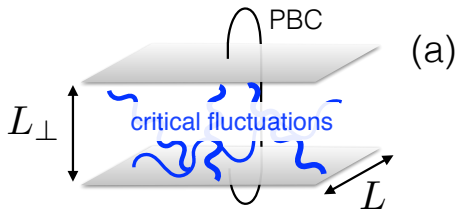
- Désordonné quantique : gap fini, $\mathcal{F}_N(x \rightarrow \infty)$ s'annule exponentiellement.
- Classique renormalisé : $(N-1)$ « Goldstones », $\mathcal{F}_N(x \rightarrow -\infty) = \frac{N-1}{N} \frac{\zeta(3)}{2\pi}$.
- $\mathcal{F}_N(x)$ **non monotone** dans le régime critique quantique !

Mesurable dans des gaz de bosons piégés dans des réseaux optiques.

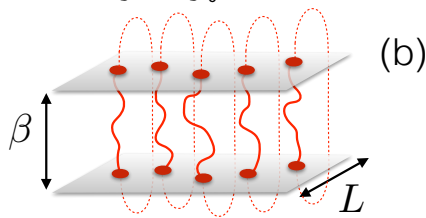
Lien avec les forces de Casimir critiques

Théorie classique confinée selon direction $L_{\perp} \equiv$ théorie quantique à $T > 0!$ ($L_{\perp} \equiv 1/T$)

$$S_{\text{cl.}} = \int d^{D-1} \mathbf{x}_{\parallel} \int_0^{L_{\perp}} dx_{\perp} \mathcal{H},$$



$$S_{\text{qu.}} = \int d^d \mathbf{r} \int_0^{\hbar\beta} d\tau \mathcal{H}.$$



Ex : les fonctions d'échelle de la **densité d'énergie interne** du modèle 2d quantique et des forces de Casimir critiques d'un modèle 3D classique **avec PBC** sont identiques !

$$\text{Force de Casimir : } f(L_{\perp}, \xi) \sim L_{\perp}^{-D} \theta(L_{\perp}/\xi).$$

$$\text{Densité d'énergie interne : } \epsilon(T) - \epsilon(T=0) \sim T^{d+1} \theta(\Delta/k_B T)$$

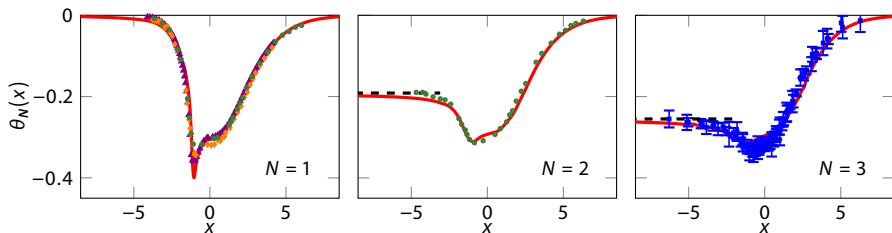
(Forces de Casimir critiques : [Fisher et Gennes, C.R. Acad. Sci. '78]) ξ : longueur de corrélation.

Comparaison avec des simulations classiques

Fonction d'échelle de la densité d'énergie interne :

$$\epsilon(T) = \epsilon(T = 0) - \frac{(k_B T)^3}{(\hbar c)^2} \theta_N \left(\frac{\Delta}{k_B T} \right).$$

De gauche à droite : $\theta_N(x)$ pour Ising, XY, Heisenberg. [Rançon, Rose et coll., PRB '16].



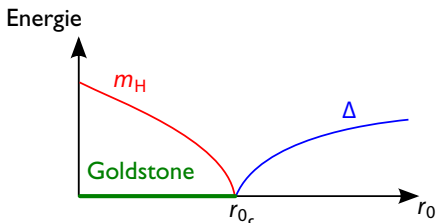
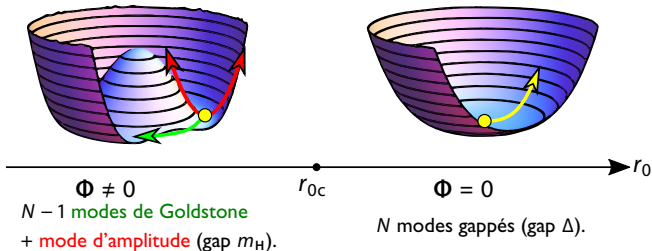
- Lignes : NPRG ; points : Monte-Carlo pour des spins 3D classiques avec PBC.
- Intêret expérimental pour les simulations classiques avec PBC.

III Mode d'amplitude « de Higgs »

Dynamiques : excitations au niveau du champ moyen en 2d

$$U(\Phi) = r_0 \Phi^2 + u_0 (\Phi^2)^2$$

Diagramme de phase à $T = 0$ (en champ moyen) :



Champ moyen :

$$\Delta = A |r_0 - r_{0c}|^{1/2}$$

$$m_H = A\sqrt{2} |r_0 - r_{0c}|^{1/2}$$

$$\rightarrow m_H/\Delta = \sqrt{2}.$$

Au delà de l'approximation Gaussienne

Question : qu'advient-il du mode d'amplitude « de Higgs » au delà du champ moyen ?

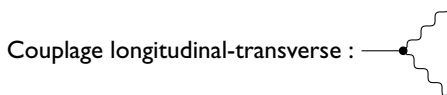
- Demeure-t-il un mode d'excitation bien défini ?
- Que se passe-t-il près du point critique ? Que vaut m_H/Δ ?

“In general, this Higgs particle can decay into multiple lower-energy spin waves. It has been argued that such decay processes dominate for $d < 3$, and the Higgs particle is therefore not a stable excitation.”

[Sachdev, *Quantum Phase Transitions*, 2nd. ed]

Émission de bosons de Goldstone → divergence IR de la susceptibilité longitudinale.

[Patasinskij et coll., JETP '73], [Zwenger, PRL '04], [Dupuis, PRE '11], ...



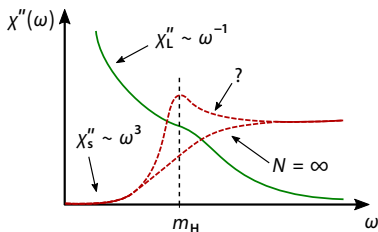
Fonction de réponse scalaire

Solution : considérer une autre fonction de réponse. [Podolsky, Auerbach et Arovas, PRB '11]

Sonde pertinente : **susceptibilité scalaire**.

$$\chi_s(\mathbf{r}, \tau) = \langle \varphi^2(\mathbf{r}, \tau) \varphi^2(0, 0) \rangle,$$

$$\chi_s''(\omega) = \text{Im}[\chi_s(\mathbf{q} = 0, i\omega_n \rightarrow \omega + i0^+)].$$



Pour calculer la fonction à 4 points, on introduit une source supplémentaire,

$$S \rightarrow S[J, h] = S + \int d^{d+1}x J \cdot \varphi + \int d^{d+1}x h \varphi^2.$$

L'action effective $\Gamma[\Phi, h]$ est la transformée de Legendre par rapport à J mais pas h .

$$\chi_s(\omega) = -\Gamma^{(0,2)}(\omega) + \left(\Gamma^{(2,0)}(\omega) \right)^{-1} \left(\Gamma^{(1,1)}(\omega) \right)^2, \quad \Gamma^{(n,m)} = \frac{\delta^{n+m} \Gamma}{\delta^n \Phi \delta^m h} \Big|_{h \rightarrow 0}.$$

Approximation BMW étendue au calcul de $\chi_s(\omega)$ (**dépendance complète en fréquences**).

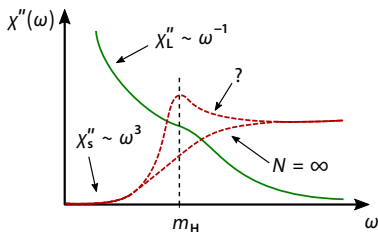
Fonction de réponse scalaire

Solution : considérer une autre fonction de réponse. [Podolsky, Auerbach et Arovas, PRB '11]

Sonde pertinente : **susceptibilité scalaire**.

$$\chi_s(\mathbf{r}, \tau) = \langle \varphi^2(\mathbf{r}, \tau) \varphi^2(0, 0) \rangle,$$

$$\chi_s''(\omega) = \text{Im}[\chi_s(\mathbf{q} = 0, i\omega_n \rightarrow \omega + i0^+)].$$



Pour calculer la fonction à 4 points, on introduit une source supplémentaire,

$$S \rightarrow S[\mathbf{J}, h] = S + \int d^{d+1}x \mathbf{J} \cdot \boldsymbol{\varphi} + \int d^{d+1}x h \varphi^2.$$

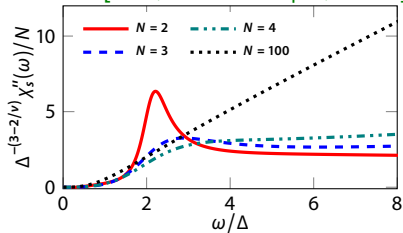
L'action effective $\Gamma[\boldsymbol{\Phi}, h]$ est la transformée de Legendre par rapport à \mathbf{J} mais pas h .

$$\chi_s(\omega) = -\Gamma^{(0,2)}(\omega) + \left(\Gamma^{(2,0)}(\omega)\right)^{-1} \left(\Gamma^{(1,1)}(\omega)\right)^2, \quad \Gamma^{(n,m)} = \frac{\delta^{n+m} \Gamma}{\delta^n \Phi \delta^m h} \Big|_{h \rightarrow 0}.$$

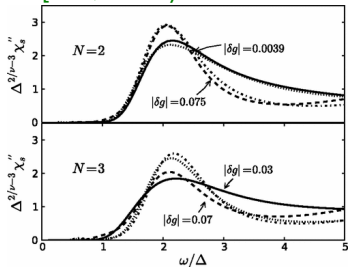
Approximation BMW étendue au calcul de $\chi_s(\omega)$ (**dépendance complète en fréquences**).

Résultats and comparaison

NPRG BMW [Rose, Léonard et Dupuis, PRB '15] :



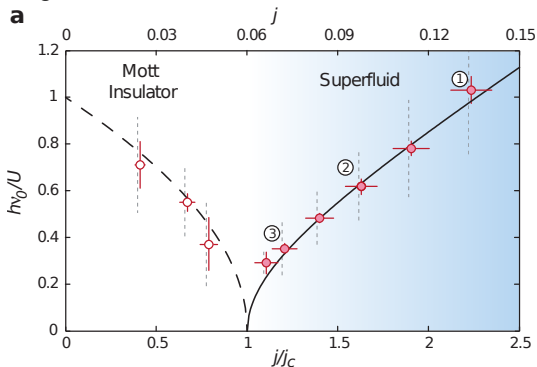
QMC [Gazit, Podolsky et Auerbach PRL '13] :



	Ratio m_H/Δ	$N = 3$	$N = 2$
Champ moyen		$\sqrt{2}$	$\sqrt{2}$
QMC (Chen et coll.)			3.3(8)
QMC (Gazit et coll.)		2.2(3)	2.1(3)
RG $3 - \epsilon$ (Katan et coll.)		1.64	1.67
NPRG BMW		≈ 2.7	≈ 2.2
QMC (Löhofer et coll.)		2.6(4)	
Diag. exacte (Nishiyama)		2.7(7)	2.1(2)

Observation expérimentale

Observation dans un gaz de bosons : [Endres et coll., Nature '12]



Autres systèmes :

- Antiferro-aimants $2d$ (spectroscopie Raman) [Jain, Souliou, Hong].
- BEC couplé à de la lumière ($d = \infty$) [Léonard et coll., '17].

Restent à observer : rapport m_H/Δ , fonction spectrale complète...

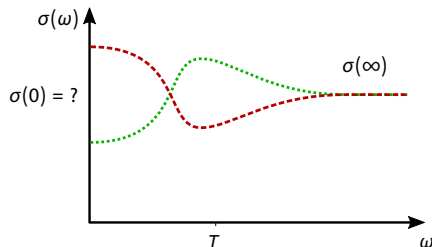
IV Transport

Conductivité : introduction

Graal : déterminer le transport dans le régime critique quantique pour $\omega \lesssim T$.

2 scénarios possibles :

[Damle et Sachdev, PRB '97]



Difficultés : pas de quasiparticules ; prolongement analytique.

Approches :

- QMC (Sørensen, Chen, Prokof'ev, Pollet, Gazit, Podolsky, Auerbach) ;
- Holographie (Myers, Sachdev, Witzack-Krempa) ;
- CFT (Poland, Sachdev, Simmons-Duffin, Witzack-Krempa) ;
- NPRG (nous !).

Courants et conductivité : définitions

Pour bosons ($N = 2$) : courant $\mathbf{j} \sim i(\psi^* \nabla \psi - \psi \nabla \psi^*) \sim \varphi_i \varepsilon_{ij} \nabla \varphi_j$,
$$\begin{cases} \psi = \varphi_1 + i\varphi_2, \\ \varepsilon_{ij} = -\varepsilon_{ji}. \end{cases}$$

Généralisation à $N > 2$:

$$j_\mu^a = \varphi \cdot T^a \partial_\mu \varphi, \quad \begin{cases} T^a : \text{matrice antisymétrique,} \\ \{T^a\} : \text{générateurs infinitésimaux des rotations.} \end{cases}$$

→ $N(N-1)/2$ courants indépendants.

Conductivité = réponse de j_μ^a à un champ externe (champ de jauge $A_\mu = A_\mu^a T^a$)
 $\equiv \langle j_\mu^a j_\nu^b \rangle$.

Réponse linéaire

$$K_{\mu\nu}^{ab}(\mathbf{x} - \mathbf{x}') = \langle j_\mu^a(\mathbf{x}) j_\nu^b(\mathbf{x}') \rangle - \delta_{\mu\nu} \delta(\mathbf{x} - \mathbf{x}') \langle T^a \varphi \cdot T^b \varphi \rangle$$

$$\sigma_{\mu\nu}^{ab}(i\omega_n) = -\frac{1}{\omega_n} K_{\mu\nu}^{ab}(p_x = 0, p_y = 0, p_z = i\omega_n) \quad \text{tenseur de conductivité}$$

Courants et conductivité : définitions

Pour bosons ($N = 2$) : courant $\mathbf{j} \sim i(\psi^* \nabla \psi - \psi \nabla \psi^*) \sim \varphi_i \varepsilon_{ij} \nabla \varphi_j$,
$$\begin{cases} \psi = \varphi_1 + i\varphi_2, \\ \varepsilon_{ij} = -\varepsilon_{ji}. \end{cases}$$

Généralisation à $N > 2$:

$$j_\mu^a = \boldsymbol{\varphi} \cdot T^a \partial_\mu \boldsymbol{\varphi},$$

T^a : matrice antisymétrique,
 $\{T^a\}$: générateurs infinitésimaux des rotations.

→ $N(N-1)/2$ courants indépendants.

Conductivité = réponse de j_μ^a à un champ externe (champ de jauge $A_\mu = A_\mu^a T^a$)
 $\equiv \langle j_\mu^a j_\nu^b \rangle$.

Réponse linéaire

$$K_{\mu\nu}^{ab}(\mathbf{x} - \mathbf{x}') = \langle j_\mu^a(\mathbf{x}) j_\nu^b(\mathbf{x}') \rangle - \delta_{\mu\nu} \delta(\mathbf{x} - \mathbf{x}') \langle T^a \boldsymbol{\varphi} \cdot T^b \boldsymbol{\varphi} \rangle$$

$$\sigma_{\mu\nu}^{ab}(i\omega_n) = -\frac{1}{\omega_n} K_{\mu\nu}^{ab}(p_x = 0, p_y = 0, p_z = i\omega_n) \quad \text{tenseur de conductivité}$$

Courants et conductivité : définitions

Pour bosons ($N = 2$) : courant $\mathbf{j} \sim i(\psi^* \nabla \psi - \psi \nabla \psi^*) \sim \varphi_i \varepsilon_{ij} \nabla \varphi_j$,
$$\begin{cases} \psi = \varphi_1 + i\varphi_2, \\ \varepsilon_{ij} = -\varepsilon_{ji}. \end{cases}$$

Généralisation à $N > 2$:

$$j_\mu^a = \boldsymbol{\varphi} \cdot T^a \partial_\mu \boldsymbol{\varphi},$$

T^a : matrice antisymétrique,
 $\{T^a\}$: générateurs infinitésimaux des rotations.

→ $N(N-1)/2$ courants indépendants.

Conductivité = réponse de j_μ^a à un champ externe (champ de jauge $A_\mu = A_\mu^a T^a$)
 $\equiv \langle j_\mu^a j_\nu^b \rangle$.

Réponse linéaire

$$K_{\mu\nu}^{ab}(\mathbf{x} - \mathbf{x}') = \langle j_\mu^a(\mathbf{x}) j_\nu^b(\mathbf{x}') \rangle - \delta_{\mu\nu} \delta(\mathbf{x} - \mathbf{x}') \langle T^a \boldsymbol{\varphi} \cdot T^b \boldsymbol{\varphi} \rangle$$

$$\sigma_{\mu\nu}^{ab}(i\omega_n) = -\frac{1}{\omega_n} K_{\mu\nu}^{ab}(p_x = 0, p_y = 0, p_z = i\omega_n) \quad \text{tenseur de conductivité}$$

Conductivité : généralités

T^a : associé à une rotation infinitésimale de $O(N)$.

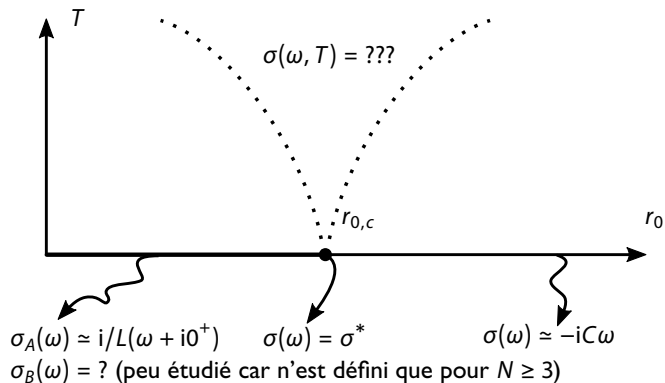
Le tenseur $\sigma_{\mu\nu}^{ab}$:

- est diagonal, $\sigma_{\mu\nu}^{ab} = \delta_{\mu\nu} \delta_{ab} \sigma^{aa}$;
- admet deux composantes, $\sigma^{aa}(\omega) = \begin{cases} \sigma_A(\omega) & \text{si } T^a \Phi \neq 0, \\ \sigma_B(\omega) & \text{si } T^a \Phi = 0; \end{cases}$
- dans la phase désordonnée et au point critique, $\sigma_A = \sigma_B = \sigma$.

Pour $N = 2$, il y a une seule matrice $T_{ij}^a = \varepsilon_{ij}$ et dans la phase ordonnée $\sigma \equiv \sigma_A$.

Propriétés universelles

Comportement **basse fréquence** :



$\sigma^*/\sigma_Q, C/L\sigma_Q^2$ sont universels! ($\sigma_Q = e^2/h$)

[Fisher et coll., PRL '89]

Formalisme de l'action effective

$$j_\mu^a = \varphi \cdot T^a \partial_\mu \varphi.$$

Difficulté technique : calculer **fonctions de corrélation à 4 points** $\langle j_\mu^a j_\nu^b \rangle$.

Idée : la même astuce que pour le « Higgs » : $\Gamma[\Phi] \rightarrow \Gamma[\Phi, \mathbf{A}]$ (\mathbf{A} source externe).

$$K_{\mu\nu}^{ab} = -\Gamma_{a\mu,b\nu}^{(0,2)} + \Gamma_{i,a\mu}^{(1,1)} \left(\Gamma_{ij}^{(2,0)} \right)^{-1} \Gamma_{j,b\nu}^{(1,1)} \quad \text{avec} \quad \Gamma^{(n,m)} = \left. \frac{\delta^{n+m} \Gamma}{\delta^n \Phi \delta^m A} \right|_{\mathbf{A} \rightarrow 0}.$$

Schéma d'approximation

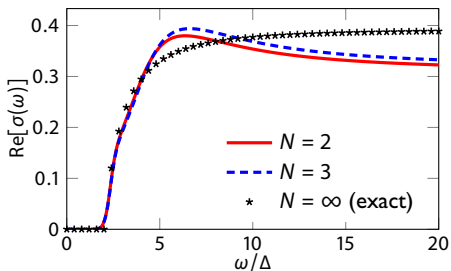
On implémente un schéma **invariant de jauge** avec une **dépendance en impulsion**.

$F_{\mu\nu} = \partial_\mu A_\nu - \partial_\nu A_\mu - [A_\mu, A_\nu]$ permet de construire deux termes $\mathcal{O}(A_\mu^2)$:

$$\begin{aligned}\Gamma_k[\Phi, \mathbf{A}] = & \int_{\mathbf{x}} \frac{1}{2} (D_\mu \Phi) \cdot Z_k(-\mathbf{D}^2) (D_\mu \Phi) + \frac{1}{4} (\Phi \cdot \partial_\mu \Phi) Y_k(-\partial^2) (\Phi \cdot \partial_\mu \Phi) + U_k(\rho) \\ & + \frac{1}{4} F_{\mu\nu}^a X_{1,k}(-\mathbf{D}^2) F_{\mu\nu}^a + \frac{1}{4} F_{\mu\nu}^a T^a \Phi \cdot X_{2,k}(-\mathbf{D}^2) F_{\mu\nu}^b T^b \Phi.\end{aligned}$$

- Préserve l'invariance de jauge [Morris, N. Phys. B '00; Bartosh, PRB '13, ...].
- $Z_k(\mathbf{p}^2)$, $Y_k(\mathbf{p}^2)$, $X_{1,k}(\mathbf{p}^2)$, $X_{2,k}(\mathbf{p}^2)$ ont une dépendance non-triviale en impulsion.
- $\sigma(\omega)$ s'exprime simplement en fonction de Z_k , $X_{1,k}$ et $X_{2,k}$.

Résultats



Dépendance complète en fréquence
de la conductivité!
(ex. : phase désordonnée)

Quantités universelles $C/L, \sigma^*$:

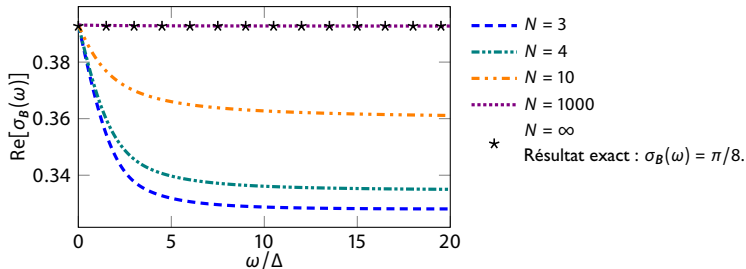
$$(\sigma_Q = e^2/h)$$

N	2	3	1000	∞ (exact)
$C/NL\sigma_Q^2$	0.105	0.0742	0.0416	$1/24 \approx 0.04167$
σ^*/σ_Q	0.3218	0.3285	0.3927	$\pi/8 \approx 0.3927$

- Valeurs exactes pour $N = \infty$.
- $N = 2$: bon accord avec le MC et le bootstrap (erreur : C/L , 5%; σ^* , 10%).

Conductivité « superuniverselle » dans la phase ordonnée

Résultat plus surprenant pour $\sigma_B(\omega)$:



$\sigma_B(\omega \rightarrow 0)$ ne dépend numériquement pas de N !

Conjecture : $\sigma_B(\omega \rightarrow 0) = \frac{\pi}{8} \sigma_Q$ pour tout N : « superuniversalité »!

[Rose et Dupuis, PRB '17]

Conclusion

Résumé et conclusion

Le NPRG peut être utilisé pour décrire la dynamique au voisinage d'une QPT et les résultats sont en accord avec les approches complémentaires.

Prédictions obtenues grâce au NPRG :

- Fonctions d'échelle de la thermodynamique [Rançon, Rose et coll., PRB '16].
- Fonction spectrale du mode d'amplitude [Rose, Léonard et Dupuis, PRB '15].
- Conductivité $\sigma_B(\omega \rightarrow 0)$ « superuniverselle » [Rose et Dupuis, PRB '17].

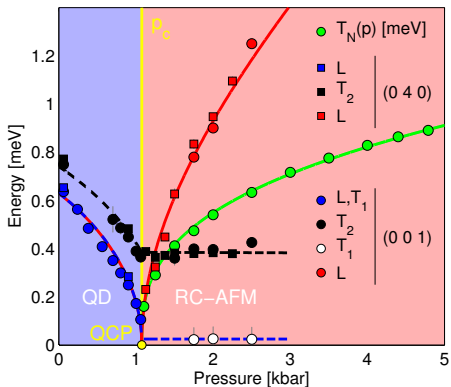
Perspectives :

- Détermination de σ dans le régime critique quantique, dans la limite $\omega \ll T$ (régime hydrodynamique).

Schéma sans prolongement analytique numérique (Strodthoff, Pawlowski).

- Autres coefficients de transport : viscosité, conductivité thermique.

Transition paramagnétique-antiferromagnétique :



[Rüegg et coll., PRL '08]

Conductivité : définition

Symétrie $O(N)$ \rightarrow conservation du moment angulaire L , courant : $\partial_t L + \nabla \cdot \mathbf{J} = 0$.

Champ de jauge non-Abélien : $\partial_\mu \rightarrow D_\mu = \partial_\mu - A_\mu$.

$$A_\mu = A_\mu^a T^a \in \mathfrak{so}(N) \quad T^a : N(N-1)/2 \text{ générateurs, } T_{ij}^a = -T_{ji}^a$$

Densités de courant $J_\mu^a = -\frac{\delta S}{\delta A_\mu^a} = j_\mu^a - A_\mu^a \boldsymbol{\varphi} \cdot T^a \boldsymbol{\varphi}$, $j_\mu^a = \boldsymbol{\varphi} \cdot T^a \partial_\mu \boldsymbol{\varphi}$

$N = 2$ (bosons) : $\mathbf{j} \sim i(\psi^* \nabla \psi - \psi \nabla \psi^*)$, $\psi = \varphi_1 + i\varphi_2$.

Réponse linéaire

$$K_{\mu\nu}^{ab}(\mathbf{x} - \mathbf{x}') = \langle j_\mu^a(\mathbf{x}) j_\nu^b(\mathbf{x}') \rangle - \delta_{\mu\nu} \delta(\mathbf{x} - \mathbf{x}') \langle T^a \boldsymbol{\Phi} \cdot T^b \boldsymbol{\Phi} \rangle$$

$$\sigma_{\mu\nu}^{ab}(i\omega_n) = -\frac{1}{\omega_n} K_{\mu\nu}^{ab}(p_x = 0, p_y = 0, p_z = i\omega_n) \quad \text{tenseur de conductivité}$$

Vertices expression

Writing the vertices in the most general form, one has

$$\Gamma_{ij}^{(2,0)}(\mathbf{p}, \Phi) = \delta_{ij}\Gamma_A + \Phi_i\Phi_j\Gamma_B, \quad (\text{inverse propagator !})$$

$$\Gamma_{i,a\mu}^{(1,1)}(\mathbf{p}, \Phi) = ip_\mu(T^a\Phi)_j\Psi_A,$$

$$\Gamma_{i,a\mu}^{(0,2)}(\mathbf{p}, \Phi) = \delta_{ab}[p_\mu p_\nu\Psi_B + \delta_{\mu\nu}\bar{\Psi}_B] + (T^a\Phi) \cdot (T^b\Phi)[p_\mu p_\nu\Psi_C + \delta_{\mu\nu}\bar{\Psi}_C],$$

where the Γ s and the Ψ s are functions of \mathbf{p}^2 and $\rho = \Phi^2/2$.

Ward identities associated with gauge invariance indicates that only $\Gamma_{A,B}$ and $\Psi_{B,C}$ are independent.

Problème : le régulateur (\sim masse) brise l'invariance de jauge :

$$\Delta S_k = \frac{1}{2} \int_{\mathbf{q}} \Phi(\mathbf{q}) \cdot R_k(\mathbf{q}^2) \Phi(-\mathbf{q}).$$

Comment préserver l'invariance de jauge?

Solution : rendre le régulateur dépendent de \mathbf{A} !

[Morris, N. Phys. B '00]

[Codello, Percacci et coll., EPJC '16]

[Bartosh, PRB '13]

$$\Delta S_k = \frac{1}{2} \int_{\mathbf{x}} \Phi(\mathbf{x}) \cdot R_k(-\partial_\mu^2) \Phi(\mathbf{x}) \rightarrow \Delta S_k[\mathbf{A}] = \frac{1}{2} \int_{\mathbf{x}} \Phi(\mathbf{x}) \cdot R_k(-D_\mu^2) \Phi(\mathbf{x})$$

Équations de flot modifiées de par la présence de \mathbf{A} .

Which approximation procedure do we use?

First idea : BMW to obtain full momentum dependence (as done for the study of the Higgs mode).

Problem : it fails !

- Impossible to close the flow equations rigorously.
- Setting momenta to zero in flow equations breaks down gauge invariance.
- Vertices have a nontrivial momenta dependence due to the derivative in j_μ^a ...
- ...so it is not possible to close the equations without additional uncontrolled approximations...
- ...which break Ward identities !

Which approximation procedure do we use?

First idea : BMW to obtain full momentum dependence (as done for the study of the Higgs mode).

Problem : it fails!

- Impossible to close the flow equations rigorously.
- Setting momenta to zero in flow equations breaks down gauge invariance.
- Vertices have a nontrivial momenta dependence due to the derivative in j_μ^a ...
- ...so it is not possible to close the equations without additional uncontrolled approximations...
- ...which break Ward identities!

$$\Gamma_k[\Phi, \mathbf{A}] = \int_x \frac{1}{2} (D_\mu \Phi) \cdot Z_k(-\mathbf{D}^2) (D_\mu \Phi) + \frac{1}{4} (\Phi \cdot \partial_\mu \Phi) Y_k(-\partial^2) (\Phi \cdot \partial_\mu \Phi) + U_k(\rho) \\ + \frac{1}{4} F_{\mu\nu}^a X_{1,k}(-\mathbf{D}^2) F_{\mu\nu}^a + \frac{1}{4} F_{\mu\nu}^a T^a \Phi \cdot X_{2,k}(-\mathbf{D}^2) F_{\mu\nu}^b T^b \Phi.$$

Expression de la conductivité dans la LPA''

$$\sigma_A(\omega) = 2\rho_0 Z(\omega^2) / (\omega + i0^+) + \omega [X_1(\omega^2) + 2\rho_0 X_2(\omega^2)],$$

$$\sigma_B(\omega) = \omega X_1(\omega^2).$$

$\rho = \Phi^2/2$, $\rho_{0,k}$: minimum du potentiel.

Origine : physique définie par modes de Goldstone. Action invariante de jauge :

$$\Gamma^{\text{eff}}[\boldsymbol{\pi}, \mathbf{A}] = Z \int_{\mathbf{x}} [(\partial_{\mu} - A_{\mu})\boldsymbol{\pi}]^2 + \dots$$

Bosons sans interactions \rightarrow conductivité pour la cl. B calculée via théorème de Wick,

$$\langle jj \rangle \sim \int_{\mathbf{q}} \Gamma^{(2,1)} G_{\text{T}}(\mathbf{q}) \Gamma^{(2,1)} G_{\text{T}}(\mathbf{p} + \mathbf{q}).$$

- Les facteurs Z se compensent.
- Redonne le résultat $N = \infty$.

Bound states – Overview

The **bound states** of the 3D Φ^4 theory have been extensively studied.

MC and FT : Caselle, Hasenbusch et coll.; Exact diag. : Nishiyama.

In the ordered phase :

- m : mass gap.
- $M < 2m$: BS mass (below the multi-particle continuum).

Near the phase transition the ratio M/m is universal!

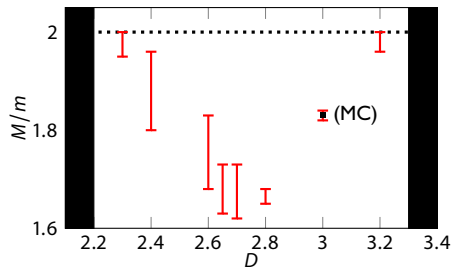
Need for a **momentum-dependent** approximation scheme :

Blaizot–Méndez-Galain–Wshebor (closes the flow equation of $\Gamma^{(2)}(\Phi, \mathbf{p})$).

Bound states – Results

After determining $G(\mathbf{p})$ in the Euclidian framework we perform analytic continuation using Padé approximants.

- For $D = 3$ we find the existence of a BS with mass $M/m \sim 1.82$ in agreement with MC.
- We study the dependence of the BS with D .



No BS in $D = 4$ (toy standard model) or 2 (Zamolodchikov).

Error bars : Padé.

[Rose et coll., PRB '16]